

$-17,5 \text{ Гэ}$  по измерениям на  $A(E)f(R)$ ,

$\text{при } 0,07 \leq E \leq 1 \text{ Мэв}$   
 $\text{при } 1 \leq E \leq 4,1 \text{ Мэв}$

$0,01 \text{ см}^{-2} \text{ сек}^{-1}$ .

взимости потока атмосферных ионов на спутнике «Космос-135» [8], максимальное и минимальное удаление которого от поверхности Земли составляло соответственно 650 и 250 км. На фиг. 4 показано относительное изменение потока атмосферных  $\gamma$ -квантов с высотой от 0 до 100 км для данных «Космоса-135» для энергии  $E = 10 \text{ Мэв}$ . Экспериментальные данные приведены к одному уровню пороговой жесткости и приведены к единице при высоте равной высоте круговой орбиты атмосферного  $\gamma$ -излучения зависимости  $\gamma$ -излучения, выходящего из атмосферы. Надежные данные существуют. Следует полагать, что зависимость выходящего излучения от высоты определяется расчетом высотной зависимости атмосферы интенсивности  $\gamma$ -излучения подчиняется закону

Высота условной границы 50 км. Соответствие расчета подтверждением того, что зависимость на границе атмосферы

Н. Панову, И. А. Соколову помочь в обработке данных.

1970, 18, 939.  
 магн. и аэрономия, 1972, 12, 996.  
 Space Sci., 1972, 18, 462.  
 ophys. J., 1969, 158, 193.  
 ФТИ, 468, Л., 1974.  
 Космические исследования, 1974,  
 и, 1970, 8, 923.  
 phys. Res., 1973, 78, 7942.  
 R. Arnold. Nature, 1964, 204, 766.  
 Статья поступила  
 24 июня 1974 г.

## ГЕОМАГНЕТИЗМ И АЭРОНОМИЯ

Том XV

1975

№ 2

УДК 521.61:550.388.2

### ИССЛЕДОВАНИЯ В ИОНОСФЕРЕ ПРИ ПОМОЩИ СПУТНИКА «КОСМОС-378»

#### 4. СТРУКТУРА ОБЛАСТЕЙ РЕГИСТРАЦИИ ЭЛЕКТРОНОВ С ЭНЕРГИЯМИ 0,5—12 КЭВ И ИХ КОНВЕКЦИЯ

М. З. Хохлов

Рассмотрено положение областей регистрации потоков электронов в ноябре 1970 г. по данным анализаторов заряженных частиц, установленных на спутнике. В спокойных геомагнитных условиях области потоков электронов расположены на инвариантных широтах  $\Lambda > 65^\circ$  и разделяются на низкоширотную и высокоширотную зоны. Оценена скорость электрического дрейфа в высокоширотной зоне.

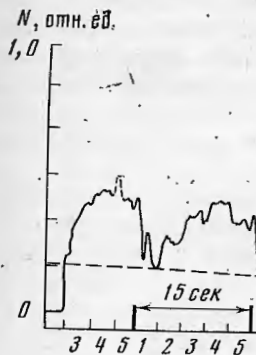
Потоки электронов с энергиами  $E_e = 0,5$ —12 кэв изучались на спутнике «Космос-378» с помощью двух противоположно ориентированных анализаторов. Подробности размещения аппаратуры на спутнике и цели комплексного эксперимента рассмотрены в [1]. Каждый анализатор (их описание, характеристики и учет фона рассмотрены в [2]) имел многощелевую отклоняющую систему, аналогичную описанной в [3], значительно ослабляющую фон от ультрафиолетового излучения Солнца. Электроны регистрировались в четырех энергетических интервалах, центрированных на 1,0; 2,2; 4,2 и 8,5 кэв. Энергетическое разрешение  $\Delta E/E_{cr} = \pm 0,5$ , угловое — в плоскости отклоняющих пластин  $\pm 10^\circ$ , в перпендикулярной плоскости  $\pm 20^\circ$ . Чувствительность —  $6 \cdot 10^5 / E \text{ см}^{-2} \text{ сек}^{-1} \text{ стер}^{-1} \text{ кэв}^{-1}$ , шкала линейная до  $4 \cdot 10^7$ . Частота опроса 12 гц при постоянной времени прибора 0,1 сек. Время регистрации спектра 12 сек. (по 3 сек. на каждый энергетический интервал плюс один 3-секундный интервал для учета фона и дрейфа нуля).

Наклонение орбиты спутника составляло  $74^\circ$ , апогей 1750 км, перигей 240 км. Электроны были зарегистрированы главным образом в режиме запоминания на высоких широтах (инвариантная широта  $\Lambda > 69^\circ$  для спокойных условий) местной зимой в северном полушарии в ночном секторе и местным летом в южном полушарии в дневном секторе. На отдельных витках достигались  $\Lambda \sim 82^\circ$ . На фиг. 1 показано положение областей регистрации электронов в ноябре 1970 г. (утолщения на тонких линиях, которыми показаны траектории спутника). Кружками показано положение границ между зонами. На ряде низкоширотных витков ( $\Lambda < 60$ —65°) потоки электронов не наблюдались. Результаты измерений для нескольких характерных витков при различных уровнях геомагнитной активности приводились в [2, 4, 5]. В настоящей работе рассмотрена особенность регистрации электронов при высокочиротных прохождениях спутника, а именно, разделение областей их регистрации на две зоны (по интенсивности потоков, времененным и пространственным вариациям, а также виду энергетических спектров).

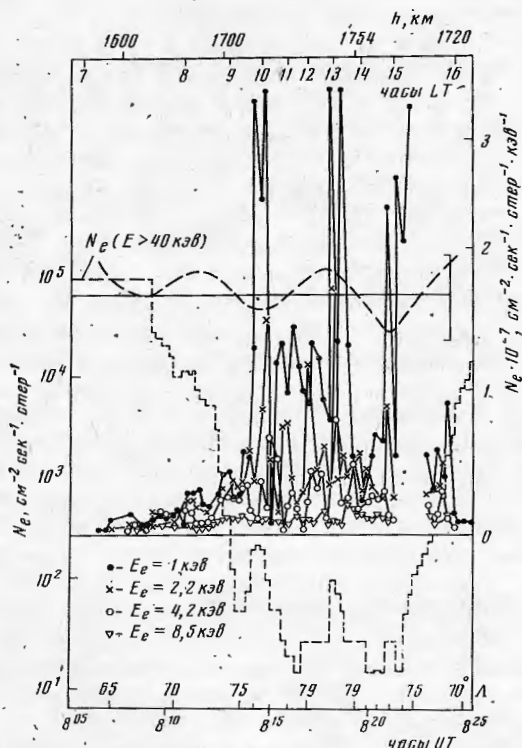
Структуру областей регистрации электронов рассмотрим на примере высокоширотного прохождения 27.XI в 8 ч. 06 м.—8 ч. 24 м. UT (9—15 час. LT). Этому периоду соответствует умеренная геомагнитная активность ( $K_p = 2$ ). На фиг. 2 показан общий ход интенсивности потоков

электронов в указанный период в различных энергетических интервалах по данным электростатического анализатора (шкала справа); штриховой линией показаны потоки электронов с  $E_e \geq 40$  кэВ [8] (шкала слева);  $\theta$  — питч-угол для электронов с  $E_e \leq 10$  кэВ. На фиг. 3 с большим временным разрешением приведена запись коллекторных токов одного из анализаторов на участке вблизи границы перехода между указанными зонами (в данном случае вблизи  $\Lambda = 76^\circ$ ). Цифрами на оси абсцисс обозначены номера энергетических интервалов анализатора, каждый из которых опрашивался в течение 3 сек. (2—1 кэВ, 3—2,2 кэВ, 4—4,2 кэВ, 5—8,5 кэВ; 1 — калибровочный интервал, вид отсчетов в котором был рассмотрен в [2]). Штриховые участки записи соответствуют моментам наводок на усилитель во время обратного хода пилообразных напряжений, подававшихся на зонды Ленгмюра (см. [2]). Область регистрации электронов четко разделяется на зоны: низкоширотную ( $\Lambda < 76^\circ$ ) и высокоширотную ( $\Lambda > 76^\circ$ ). В низкоширотной зоне по мере увеличения  $\Lambda$  интенсивность потоков медленно увеличивается, оставаясь ниже  $2 \cdot 10^6 \text{ см}^{-2} \text{ сек}^{-1} \cdot \text{стерт}^{-1} \cdot \text{кэВ}^{-1}$ , а при переходе через границу между зонами  $\Lambda_{\text{гр}}$  резко возрастает (за счет электронов наименьших энергий) и принимает хаотический, перегулярный характер. Потоки электронов в низкоширотной зоне достаточно стабильны, четко прослеживается их изменение при переходе от одного энергетического интервала к другому, последовательные спектры мало различаются, так что вся зона в поздние утренние

часы (7—9 час. LT) на протяжении  $\sim 3000$  км является единым, достаточно стабильным образованием. Максимум потока энергии расположен вблизи  $E_e \sim 4$  кэВ. Сильная изменчивость электронных потоков в высокоширотной зоне затрудняет детальное определение спектра. Несомненно однако, что средняя энергия электронов расположена обычно ниже или последовательности



Фиг. 1



Фиг. 2

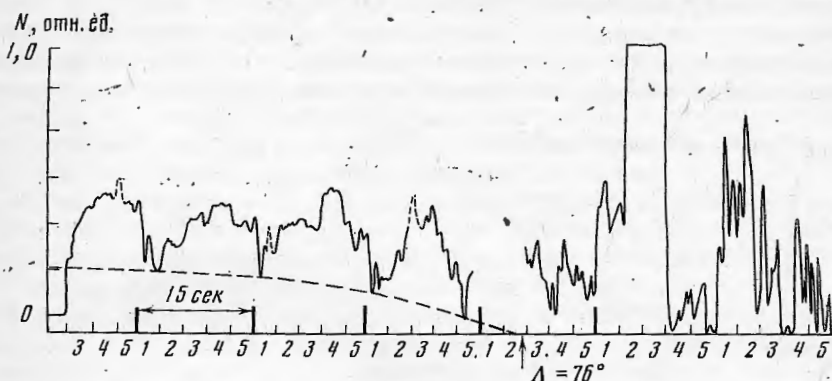
часы (7—9 час. LT) на протяжении  $\sim 3000$  км является единым, достаточно стабильным образованием. Максимум потока энергии расположен вблизи  $E_e \sim 4$  кэВ. Сильная изменчивость электронных потоков в высокоширотной зоне затрудняет детальное определение спектра. Несомненно однако, что

примерно соответствует процессам в измерительных скважинах не превосходит скважинного масштаба не бывает магнитных бурьами во всей области их распространения. Поэтому спокойных условий; знают относительно полюса гравиции замкнутых силовых линий) и внутренней границы штриховкой). Возможно, это связано с небольших периодов. Провалы и отсутствием высокошироты

Существенный аргумент в пользу захвата следующей регистрацией электронов коширотная граница электронов определяющая границу захвата этих электронов происходит в результате примерно на 0,5° электронов по мере приближения захвата точнее определяет потоков меньших энергий также поведение флукутаций радиационных полей  $E_e < 40$  кэВ [2]) при приближении линией на фиг. 3)  $E_e \geq 40$  кэВ, исчезая как раз за границу захвата. Потоки электронов малых энергий, по-видимому, с зонами

нергетических интервалах (шкала справа); штриховой — [8] (шкала слева);  $\theta$  — азимутальный угол для электронов с  $E_e \leq 10$  кэВ. На фиг. 3 с большим временным разрешением приведена запись коллекторных токов одного из анализаторов на участке вблизи границы перехода между указанными зонами (в данном случае вблизи  $\Lambda = 76^\circ$ ). Цифрами на оси абсцисс обозначены номера энергетических интервалов анализатора, каждый из которых опрашивался в течение 3 сек. (2—1 кэВ, 2,2 кэВ, 4—4,2 кэВ, 5—6 кэВ; 1 — калибровочный интервал, вид отсчетов в котором был рассмотрен в [2]). Штриховые участки записи соответствуют моментам нахождок на усилитель во время обратного хода пилообразных напряжений, подававшихся на зонды Ленгмюра [2]. Область регистрации электронов четко разделяется на зоны: низкоширотную ( $\Lambda < 76^\circ$ ) и высокоширотную ( $\Lambda > 76^\circ$ ). В низкоширотной зоне по мере увеличения интенсивность потоков медленно увеличивается, оставаясь ниже  $2 \cdot 10^6 \text{ см}^{-2} \text{ сек}^{-1} \cdot \text{кэВ}^{-1}$ , а при переходе через границу между зонами резко возрастает (за счет электронов наименьших энергий) и принимает хаотичный, нерегулярный характер. Потоки электронов в низкоширотной зоне достаточно больны, четко прослеживается их изменение при переходе от одного энергетического интервала к другому, следовательные спектры то различаются, так что зона в поздние утренние является единым, достаточно широким расположена вблизи отоков в высокоширотной зоне. Несомненно однако, что

средняя энергия электронов здесь существенно ниже (максимум спектра расположен обычно ниже 1 кэВ). Часто наблюдаются отдельные всплески (или последовательности всплесков) длительностью не более 0,5 сек., что



Фиг. 3

примерно соответствует длительности их затягивания из-за переходных процессов в измерительном устройстве. Истинная длительность этих всплесков не превосходит скорее всего 0,1 сек., что соответствует пространственному масштабу не более 1 км. В наиболее возмущенные периоды во время магнитных бурь электронные потоки становятся быстроподвижными во всей области их регистрации, другие различия между зонами также сглаживаются. Поэтому на фиг. 1 показаны  $\Lambda_{rp}$  только для сравнительно спокойных условий; значения  $\Lambda_{rp}$  очерчивают несколько асимметричную относительно полюса границу, близкую к приведенным для сравнения границе замкнутых силовых линий (границе захвата) по [6] (штриховая линия) и внутренней границе овала полярных сияний по [7] (показанного косой штриховкой). В ночном секторе  $\Lambda_{rp}$  несколько сдвинуты к полюсу. Возможно, это связано с отсутствием значений  $\Lambda_{rp}$  для наиболее возмущенных периодов. Провалы в данных с 4 до 7 и с 16 до 19,5 час. MLT вызваны отсутствием высокоширотных прохождений в эти часы.

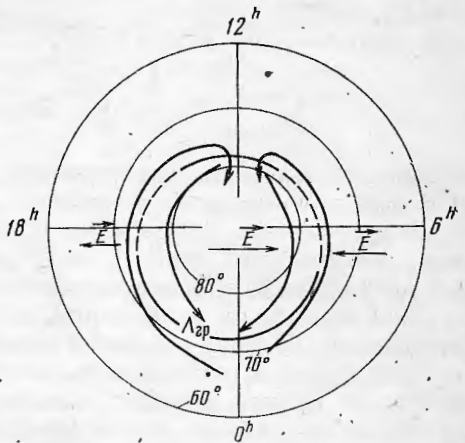
Существенный аргумент в пользу предположения о совпадении  $\Lambda_{rp}$  с границей захвата следует из непосредственного сравнения  $\Lambda_{rp}$  с границей регистрации электронов с  $E_e \geq 40$  кэВ [8]. Действительно, по [9, 10] высокоширотная граница электронов с  $E_e \geq 45$  кэВ — это естественная граница, определяющая границу захвата. Как видно из фиг. 2, спад интенсивности этих электронов происходит как раз вблизи  $\Lambda_{rp}$ , с небольшим сдвигом к экватору примерно на  $0,5^\circ$ , что естественно объяснить смягчением спектра электронов по мере приближения к границе захвата. Таким образом, граница захвата точнее определяется, по-видимому, по границе регуляризации потоков меньших энергий, зарегистрированных анализаторами. Существенно также поведение фона, регистрируемого анализаторами при прохождении радиационных поясов (который вызывается также и электронами с  $E_e < 40$  кэВ [2]) при приближении к границе захвата (фон показан штриховой линией на фиг. 3). Этот фон тянется и за спадом электронов с  $E_e \geq 40$  кэВ, исчезая как раз вблизи  $\Lambda_{rp} \approx 76^\circ$ . Все это показывает, что граница захвата и граница между зонами в дневном и утреннем секторах практически совпадают, причем зона нерегуляризированных потоков попадает за границу захвата, где неоднократно наблюдались интенсивные потоки электронов малых энергий [11—22]. Зона регуляризированных потоков совпадает, по-видимому, с зоной электронов малых энергий внутри внешнего ра-

диационного пояса [14]. По своим характеристикам рассматриваемые зоны близки к так называемым «мягкой» и «жесткой» зонам [15–22]. Возможно, что низкоширотная зона аналогична или составляет часть так называемой диффузной зоны [19].

Вернемся к данным фиг. 2. Как уже отмечалось, спектры электронов в рассматриваемых зонах существенно различаются. На фиг. 4 приведены два характерных спектра электронов этих зон, построенные по данным



Фиг. 4



Фиг. 5

фиг. 2 (сплошная линия — спектр в мягкой зоне, штриховая — в жесткой). Интересно, что спектр, относящийся к пику интенсивности в 8 ч. 14 м. UT ( $\theta=60^\circ$ ), по своей форме совпадает со спектром электронов полярного каспия на расстоянии  $10 R_E$  из [22] (точки; спектр из [22] смешен по оси ординат до совпадения значения интенсивности для 1 кэв с соответствующим значением для спектра высоколатитной зоны). В области  $\Lambda > 76^\circ$  наблюдается (см. фиг. 2) три таких пика интенсивности. Их появление частично связано с преимущественной ориентацией электронных потоков вдоль силовых линий магнитного поля. Несомненно, что они определяются здесь также и структурными особенностями области электронных потоков. Так, резкое изменение интенсивности, например в 8 ч. 18 м. UT, более чем в 50 раз трудно связать с плавным изменением пич-угла в этот же момент. Кроме того, область между пиками интенсивности (около 8 ч. 18 м. UT) по характеру близка к низколатитной зоне. Не исключено поэтому, что вариации интенсивности потоков и формы спектров в области  $\Lambda > 76^\circ$  определяются не столько вариациями интенсивности потоков и формы спектров вторгающихся электронов, сколько многократными пересечениями границы между зонами в интервале значений  $\Lambda$  от 76 до  $79^\circ$ . Согласно [22] дневной полярный каспий расположен вблизи  $\Lambda = 79^\circ$ , что близко к приведенным цифрам. Таким образом и по расположению, и по виду спектров интенсивности потоки электронов в дневном секторе за  $\Lambda_{tr}$  следует отнести к полярному каспию [4, 5, 22] либо к мягкой зоне, на экваториальной границе которой расположены

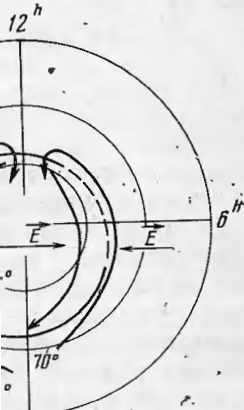
жен полярный каспий [1].  
ные переходы между ми-  
времена, существенно  
секторе. Возможно, что  
по всей границе замкнуты.  
Переходы наиболее че-  
сопровождаются пиками  
интенсивность потоков  
вается в низкоширотные  
зывает, что источники  
ные часы соответству-  
В вечерние часы вслед-  
а интенсивность и ши-  
меньше, чем в утренни-

Как уже отмечено (фиг. 4) и больших вы- сивность потоков на бу- ситуация наблюдается элекtronов в каспе и в ко- ков в каспе существен- ход интенсивности, обра- вает, что речь идет о т- ном и ночном секторах ляется при этом как п- жизни рассматриваемой поскольку для электров- электрических полей яв-

Первые представления о магнитосфере были сфокусированы на движении различных атомов и атомных группировок в магнитосфере [24-27]. В магнитосфере, движущейся в утреннем и вечернем секторах (малый вихрь), происходит антисоларное разделение и временных разрывов на спутнике магнитного диполя Земли установить, что дрейф направлении [25]. Это постулат совпадает с движением вихря. На движение электронов в высоколатитной магнитосфере конвективных вихрей нанесены прямыми измерениями движению искусственного спутника земли двойные зонды, явилось установление солнечных и вечерние часы. Солнечная активность в [21] сопоставлена с движением электронов в области антисоларной конвекции  $E_e > 0,2 \text{ кэВ}$  по наблюдению телескопа конвекции

кам рассматриваемые «жёсткой» зонам [15–22], составляет часть так

спектры электронов в На фиг. 4 приведены строенные по данным



Фиг. 5

гриховая — в жесткой).  
ивности в 8 ч. 14 м. UT  
тронов полярного каспа  
смещен по оси ординат  
соответствующим зна-  
сти  $\Lambda > 76^\circ$  наблюдается  
явление частично связа-  
потоков вдоль силовых  
деляются здесь также и  
их потоков. Так, резкое  
UT, более чем в 50 раз  
этот же момент. Кроме  
8 ч. 18 м. UT) по харак-  
теристикам, что вариации  
 $\Lambda > 76^\circ$  определяются  
формы спектров вторгаю-  
щимися границы между  
сно [22] дневной поляр-  
к приведенным цифрам.  
ров интенсивности пото-  
кости к полярному каспу  
ранице которой расположена

жен полярный касп [20]. В этой связи важно подчеркнуть, что аналогичные переходы между мягкой и жёсткой зонами наблюдались и в местные времена, существенно отличные от приполуденных, в том числе и в ночном секторе. Возможно, что вторжения электронов переходного слоя происходят по всей границе замкнутых силовых линий, как предполагалось в [23, 24]. Переходы наиболее четки в дневном и утреннем секторах, где они часто сопровождаются пиком интенсивности на границе вблизи  $\Lambda_{rp}$ . В среднем интенсивность потоков электронов при приближении к полуночи увеличивается в низкоширотной зоне и уменьшается в высокочиротной. Это указывает, что источники электронов наиболее интенсивны в дневные иочные часы соответственно для высокочиротной и низкоширотной зон. В вечерние часы всплески интенсивности вблизи  $\Lambda_{rp}$  наблюдаются реже, а интенсивность и широтная протяженность высокочиротной зоны здесь меньше, чем в утренние часы, что согласуется с данными [25].

Как уже отмечено, спектры электронов полярного каспа на малых (фиг. 4) и больших высотах [22] близки по своей форме. Однако интенсивность потоков на больших высотах существенно меньше. Аналогичная ситуация наблюдается и в ночном каспе, где согласно [26] формы спектров электронов в каспе и в плазменном слое совпадают, а интенсивность потоков в каспе существенно выше, чем на больших удалениях от Земли. Такой ход интенсивности, обратный ходу для захваченных частиц, также указывает, что речь идет о частицах, источники которых расположены в дневном и ночном секторах. Долготная протяженность зон высыпания определяется при этом как протяженностью самих источников, так и временем жизни рассматриваемых частиц и скоростью конвекции в магнитосфере, поскольку для электронов рассматриваемых энергий дрейфа под влиянием электрических полей является существенным [27].

Первые представления о характере конвективных движений плазмы в магнитосфере были сформулированы в [28, 29] и опирались на наблюдения движений различных авроральных образований и представления о некотором механизме передачи импульса от солнечного ветра плазме вблизи границы магнитосферы [28] или механизме пересоединения силовых линий [29]. В магнитосфере возникают два конвективных вихря, расположенные в утреннем и ночном секторах (большой вихрь) и в вечернем секторе (малый вихрь), конвекция в высокочиротных ветвях которых происходит в антисолнечном направлении. Изучение пространственного распределения и временных вариаций потоков электронов с  $E_e > 0,2 \text{ кэВ}$  по измерениям на спутнике «Электрон-2» в зависимости от ориентации оси магнитного диполя Земли относительно направления на Солнце позволило установить, что дрейф этих электронов происходит в антисолнечном направлении [25]. Это позволило также предположить, что область их регистрации совпадает с высокочиротной ветвью большого конвективного вихря. На движение электронов с  $E_e = 0,7 \text{ кэВ}$  в антисолнечном направлении в высокочиротной магнитосфере недавно указано в [30]. Концепция двух конвективных вихрей в высокочиротной магнитосфере существенно уточнена прямыми измерениями электрических полей в магнитосфере как по движению искусственных облаков  $\text{Ba}^+$  [31, 32], так и по методике, использующей двойные зонды Ленгмюра [10, 32–34]. Важнейшим результатом явилось установление факта обращения знака поля на  $\Lambda = 75\text{--}77^\circ$  в утренние и вечерние часы. Существенно, что линия обращения знака поля была отождествлена в [21] с границей захвата и замкнутых силовых линий. Это значит, что электроны высокочиротной мягкой зоны за  $\Lambda_{rp}$  расположены в области антисолнечной конвекции, в согласии с данными об электронах с  $E_e > 0,2 \text{ кэВ}$  по наблюдениям на спутнике «Электрон-2» [25]. Вывод об антисолнечной конвекции магнитосферной плазмы на высоких широтах в

[25] основывался на суммарном рассмотрении всей области регистрации электронов. Как показывают приведенные выше данные, потоки электронов в высоколатитной зоне в дневные и утренние часы преобладают, и при таком суммарном рассмотрении их вклад доминирует, что подтверждает основной результат в [25].

Общая картина дрейфа электронов малых энергий, объясняющая как приведенные данные, так и данные в [25], схематически показана на фиг. 5. Источник электронов низколатитной жесткой зоны расположен в плазменном слое и ночном каспе, откуда электроны дрейфуют в солнечном направлении, образуя низколатитные ветви конвективных вихрей. Источник электронов мягкой зоны в этой схеме — полярный касп, пополняемый электронами переходного слоя через дневные нейтральные точки или линии [19, 21, 35, 36]. Эти электроны попадают в высоколатитные ветви конвективных вихрей и дрейфуют в антисолнечном направлении. В зависимости от ориентации межпланетного поля относительно оси магнитного диполя расположение конвективных вихрей и скорость конвекции может изменяться [34]. По оценке в [25], скорость дрейфа электронов с  $E_e > 0,2 \text{ кэВ}$  в утренние часы в антисолнечном направлении составляла  $\sim 20^\circ/\text{час}$  по долготе, что приводит на высотах, где измерялись электрические поля, примерно к  $0,3 \text{ км/сек}$ . Чаще всего наблюдались электрические поля, соответствующие скоростям конвекции  $1,0-1,5 \text{ км/сек}$  [9, 31-34], хотя имеются также случаи наблюдения и существенно меньших скоростей. Так в [37] есть случай, когда скорость составляла  $\sim 0,5 \text{ км/сек}$  (фиг. 7 в [37]). Следует учесть, что электрическое поле определяет скорость конвекции холодной плазмы, а для рассматриваемых более энергичных электронов необходимо рассмотреть также градиентный и центробежный дрейф в магнитном поле, в утреннем секторе направленный навстречу электрическому. Приведенное значение  $0,3 \text{ км/сек}$  следует увеличить на скорости магнитных дрейфов, т. е. примерно на  $0,5 \text{ км/сек}$ , после чего согласие данных [25] и экспериментальных данных по измерениям конвекции в антисолнечном направлении на основе измерения электрических полей [9, 32-34] становится вполне удовлетворительным.

Кроме двух источников пополнения низколатитной и высоколатитной зон (соответственно ночного и дневного), не следует, как уже отмечено, исключать существование протяженного по долготе источника на границе замкнутых силовых линий магнитного поля [23, 24], поскольку времена жизни электронов рассматриваемых энергий могут быть недостаточны для их переноса на значительные расстояния, а также локальных механизмов ускорения электронов, так как иначе трудно объяснить многочисленные случаи наблюдения резких мелкомасштабных неоднородностей в высоколатитной зоне в широком интервале местного времени.

#### ЛИТЕРАТУРА

1. К. И. Грингауз, Г. Л. Гдалевич. Геомагн. и аэрономия, 1974, 14, 937.
2. А. П. Ремизов, М. З. Хохлов. Геомагн. и аэрономия, 1975, 15, 3.
3. Э. Л. Лейн, Л. Г. Ольдекоп, Б. В. Поленов, А. П. Ремизов, Б. И. Хазанов, М. З. Хохлов, А. В. Шифрин. ПТЭ 44, 1971.
4. В. В. Афонин, М. И. Виргили, Г. Л. Гдалевич, Б. Н. Горожанкин, К. И. Грингауз, Ю. И. Логачев, А. П. Ремизов, В. Г. Столповский, М. З. Хохлов, С. М. Шеронова. X Всесоюзн. конфер. по распространению радиоволн, «Наука», 1972, 436.
5. К. И. Gringauz, C. L. Gdalevich, M. Z. Khokhlov, A. P. Remizov, Yu. I. Logachev, V. G. Stolpovsky, S. M. Sheronova, V. V. Afonin. Space Res., 1973; 13, 549.
6. I. B. McDiarmid, J. R. Burrows. Canad. J. Phys., 1968, 46, 49.
7. J. I. Feldstein. Planet. Space Sci., 1966, 14, 121.
8. Yu. V. Gozeluk, S. N. Kuznetsov, Yu. I. Logachev, V. G. Stolpovsky. Space Res., 1973, 13, 575.

9. L. A. Frank, K. L. Acke. J. Geophys. Res., 1972, 77, 103.
10. L. A. Frank, D. A. Garscadden. J. Geophys. Res., 1972, 77, 111.
11. К. И. Грингауз, В. Д. Берзруков. Геомагнит. и аэрономия, 1972, 12, 716.
12. К. И. Грингауз, В. Д. Берзруков. Геомагнит. и аэрономия, 1972, 12, 716.
13. К. И. Грингауз, М. З. Хохлов. «Наука», 1965, 467.
14. В. В. Безруков, К. И. Грингауз. Геомагнит. и аэрономия, 1972, 12, 716.
15. J. L. Burch. J. Geophys. Res., 1972, 77, 103.
16. R. A. Hoffman, D. S. Evans. J. Geophys. Res., 1972, 77, 111.
17. R. A. Hoffman. J. Geophys. Res., 1972, 77, 111.
18. R. D. Sharp, R. G. Johnstone. J. Geophys. Res., 1972, 77, 111.
19. Ю. И. Гальперин, Т. А. Гальперина. Геомагнит. и аэрономия, 1972, 12, 716.
20. W. J. Haikilla, J. D. Williams. J. Geophys. Res., 1972, 77, 103.
21. R. A. Hoffman, S. Berkner. J. Geophys. Res., 1972, 77, 111.
22. L. A. Frank. J. Geophys. Res., 1972, 77, 111.
23. A. J. Dessler, R. D. Juday. J. Geophys. Res., 1972, 77, 111.
24. С. И. Исаев, М. И. Грингауз. «Наука», 1972, 467.
25. М. З. Хохлов. Космическая физика, 1972, 12, 716.
26. E. W. Jones, J. R. Asbridge. J. Geophys. Res., 1972, 77, 103.
27. В. П. Шабанский. Космическая физика, 1972, 12, 716.
28. W. I. Axford, C. O. Heinrich. J. Geophys. Res., 1972, 77, 103.
29. J. W. Dungey. Planet. Space Sci., 1972, 20, 103.
30. G. Gustafson. Preprint, 1972.
31. G. Haerendel, R. Lust. J. Geophys. Res., 1972, 77, 111.
32. J. P. Neppeler. Planet. Space Sci., 1972, 20, 103.
33. J. P. Neppeler. J. Geophys. Res., 1972, 77, 111.
34. N. G. Maynard. Preprint, 1972.
35. М. С. Бобров. Астрономический журнал, 1965, 3, 33.
36. В. Д. Плетнёв, Г. А. Смирнов. Астрономический журнал, 1965, 3, 33.
37. D. P. Gauffman, R. D. Sharp. J. Geophys. Res., 1972, 77, 111.

Институт космических исследований  
АН СССР

всей области регистрации данные, потоки электротечасы преобладают, и при этом преобладают, что подтверждает

нергий, объясняющая как схематически показана на стокой зоны расположены в зоны дрейфуют в солнечном вихревых вихрях. Источникальный часп, пополняемый в центральные точки или ли в высоколатитные ветвином направлении. В зависимости от оси магнитного король конвекции может быть дрейфа электронов с направлении составляла где измерялись электрические наблюдалась электрические  $0-1,5 \text{ км/сек}$  [9, 31—34], значительно меньших скорости  $\sim 0,5 \text{ км/сек}$  (фиг. 7 определяет скорость конвекции более энергичных электротечас и центробежный дрейф может навстречу электрическим увеличить на скорость  $v$ , после чего согласие даннениям конвекции в антиэлектрических полей [9, 32—

протной и высоколатитной тедует, как уже отмечено, от источника на границе 3, 24], поскольку времена могут быть недостаточны для даже локальных механизмов объяснить многочисленные неоднородности в высоколатитном времени.

мия, 1974, 14, 937.

1975, 15, 3.

Ремизов, Б. И. Хазанов, М. З.

I. Горожанин, К. И. Грингауз, М. З. Хохлов, С. М. Шеронова. Изд-во, «Наука», 1972, 436.  
L. P. Remizov, Yu. I. Logachev, Space Res., 1973, 13, 549.  
46, 49.

V. G. Stolpovsky. Space Res.,

9. L. A. Frank, K. L. Ackerson. J. Geophys. Res., 1971, 76, 3642.
10. L. A. Frank, D. A. Garnett. J. Geophys. Res., 1971, 76, 6829.
11. К. И. Грингауз, В. Д. Озеров, В. В. Безруков. Докл. АН СССР, 1960, 131, 1301.
12. К. И. Грингауз, В. Г. Курт, В. И. Мороз, И. С. Шкловский. Астрон. ж., 1960, 37, 716.
13. К. И. Грингауз, М. З. Хохлов. Сб. «Исследование космического пространства». М., «Наука», 1965, 467.
14. В. В. Безруков, К. И. Грингауз, Л. С. Мусатов, Э. К. Соломатина. Сб. «Исследование космического пространства». М., «Наука», 1965, 418.
15. J. L. Burch. J. Geophys. Res., 1968, 73, 3585.
16. R. A. Hoffman, D. S. Evans. J. Geophys. Res., 1968, 73, 6201.
17. R. A. Hoffman. J. Geophys. Res., 1969, 74, 2425.
18. R. D. Sharp, R. G. Johnson. Aurora and Airglow. New York, 1969.
19. Ю. И. Гальперин, Т. М. Джорджио и др. Космические исследования, 1970, 8, 108.
20. W. J. Haikilla, J. D. Winningham. J. Geophys. Res., 1971, 76, 2976.
21. R. A. Hoffman, S. Berko. J. Geophys. Res., 1971, 76, 2976.
22. L. A. Frank. J. Geophys. Res., 1971, 76, 5202.
23. A. J. Dessler, R. D. Juday. Planet. Space Sci., 1965, 13, 63.
24. С. И. Исаев, М. И. Пудовкин. Полярные сияния и процессы в магнитосфере Земли, «Наука», 1972.
25. М. З. Хохлов. Космические исследования, 1970, 8, 261.
26. E. W. Hones, J. R. Asbridge, S. J. Bame, S. Singer. J. Geophys. Res., 1971, 76, 63.
27. В. П. Шабанский. Космические исследования, 1965, 3, 221.
28. W. I. Axford, C. O. Heines. Canad. J. Phys., 1961, 30, 1431.
29. J. W. Dungey. Planet. Space Sci., 1963, 10, 233.
30. G. Gustafson. Preprint X-645-72-293, August 1972.
31. G. Haerendel, R. Lust, E. Rieger, H. Volk. Atmospheric emissions, New York, 1969.
32. J. P. Heppner. Planet. Space Sci., 1972, 20, 1475.
33. J. P. Heppner. J. Geophys. Res., 1972, 77, 4877.
34. N. G. Maynard. Preprint X-645-71-231, June 1971.
35. М. С. Бобров. Астроном. ж., 1960, 37, 410.
36. В. Д. Плетнев, Г. А. Скуридин, В. П. Шалимов, И. Н. Швачунов. Космические исследования, 1965, 3, 336.
37. D. P. Gauffman, R. D. Gurnett. J. Geophys. Res., 1971, 76, 6014.

Институт космических исследований  
АН СССР

Статья поступила  
17 января 1974 г.